

大阪大学工学部 正会員 前田幸雄
 大阪大学工学部 正会員 林正
 (株)酒井鉄工所 正会員 ○神谷信彦

1. まえがき 本文では、補剛桁を有するアーチ橋の面内弹性座屈と、有限変形の影響を考慮した幾何学的非線形性状について報告する。¹⁾ 面内座屈については、アーチリブと補剛桁との剛比と、アーチリブの支持条件に着目し、これらの計算結果を現在の道路橋示方書(以下道示)と対比させ、一つの提案式を示した。また、幾何学的非線形性状については、載荷条件、剛性、構造形式に着目し、これらの影響を調べた。

2. 構造形式と計算方法 (1) 構造形式: 図-1のように補剛桁の位置により、A, B, C の3つのタイプに分けた。アーチリブは2次放物線とし、補剛桁との交点は剛結とした。リブと補剛桁とはそれぞれ等断面とし、吊材については断面2次モーメントを無視した。アーチリブの支持条件としては、両端ヒンジと両端固定の2ケースを考え、補剛桁に関しては両端ローラーのみとした。

(2) 載荷条件: 載荷重量としては、等分布死荷重を補剛桁とアーチリブとで等分に受け持たせ、これを満載した。さらに補剛桁に等分布活荷重を半載した。

(3) 計算方法: 計算は文献に示されている計算式と計算手順を用いた。また計算結果に一般性を持たせるために、アーチのライズ比 α 、細長比入、及び死荷重 w_0 と活荷重 w に関する無次元パラメータを導入した。また基準荷重 w_0 は、座屈荷重 δ_{cr} の $1/8$ に選び、 $w_0 = \delta_{cr}/8 = \alpha(f/L)(EI/L^3)$ とした。

$$\alpha = f/L, \quad \lambda = \sqrt{A/I} \cdot L, \quad \gamma = w/w_0, \quad \beta = f/L$$

表-1 無次元パラメータ

n	0.1	0.15	0.2	0.3	0.4	0.5	0.6	0.7
X	100	150	200	300	400			
Y	0.5	1.0	1.5	2.0	2.5	3.0		
Z	0.0	0.01	0.05	0.1	0.2	0.4	0.6	1.0

なお、断面積 A 及び断面2次モーメント I は、アーチリブと補剛桁との和($A = A_a + A_g, I = I_a + I_g$)である。無次元量を表-1のように選んだ。

3. 弹性座屈 座屈係数 $\alpha (= H_{cr}L^2/EI)$ は、アーチリブと補剛桁の断面積比(A_a/A)、補剛桁の位置による影響を全り受けない。また実橋の範囲内では、細長比の影響も受けない。しかし、ライズ比、アーチリブの支持条件と共に、アーチリブと補剛桁との剛比(I_a/I)の影響は大きい。³⁾ 補剛桁に軸力が生じない場合の剛性の換算式(道示(11.4.4)式)から座屈係数を補正すると、今回の計算結果とかなり違った値を示す。従って、計算結果により近付けるために以下の式を提案する。ただし、載荷条件 α 、 β は、変形の影響を考慮しない弾性座屈では全く関係しないので、ここでは $\mu = 1$ とした。

$$\text{道示 } I = I_a + \frac{4\pi^2}{\alpha^2} I_g \quad (1)$$

$$\text{提案式 } I = I_a + K I_g \quad (2)$$

2ヒンジ式アーチ: $K = 1$

$$\text{固定式アーチ: } K = \frac{d_h}{d_f} + (1 - \frac{d_h}{d_f}) \sqrt{\frac{I_a}{I_a + I_g}}$$

ここに、

d_h : 2ヒンジアーチの座屈係数

d_f : 固定アーチの座屈係数

ただし、剛比の影響を考慮した座屈係数 $\bar{\alpha}$ は、以下の式を用いて算出した。

$$\bar{\alpha} = \alpha \cdot \bar{I} / (I_a + I_g) \quad (3)$$

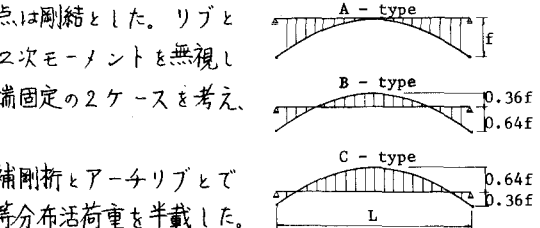


図-1 構造形式

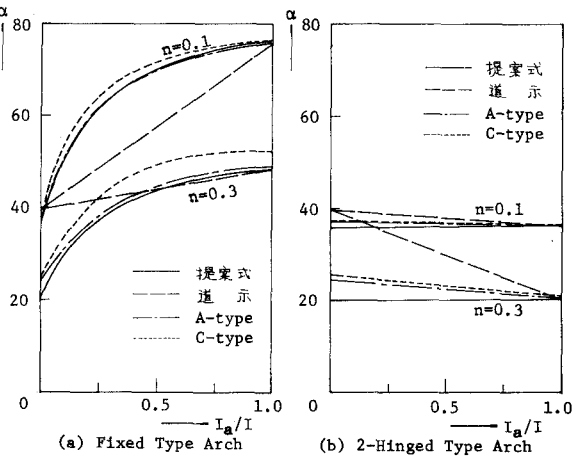


図-2 座屈係数に及ぼす剛比の影響

4. 非線形性状 表2,3は、 $n=0.1 \sim 0.3$, $\lambda=100 \sim 400$, および $\beta \leq 0.4$ の範囲の、線形解に対する非線形解の比の最大値を集計したものであり、また図-3は、上記の最大値をグラフに示したものである。表および図において、F, H-typeとはそれぞれ補剛析のない固定アーチおよび2ヒンジアーチを意味している。またA*-typeとは、A-typeにおいてアーチリブの剛性を無視した逆ランガーアーチを意味している。

活荷重と死荷重の比 β が0.6以下であれば、補剛析の位置を変えても大変形特性は大して変わらない。図-3を見ると、道示11.3条に規定されている、有限変形の影響を考慮すべき限界の死荷重強度、すなわち $\gamma=1.0$ に対して、非線形解の値は線形解に比べて約20%程度大きくなることが分かる。

5. 崩壊荷重(弾性領域) 弾性座屈において座屈荷重は、活荷重と死荷重との比 β に全く影響されない。しかし、変形の影響を考慮すると、 β の影響は大きく、図-4に見られるようにA-typeにおいては、崩壊荷重は減少する。道示(11.4.3)式、また図-解11.4.2は、実験結果から得られたものであるから、変形の影響が含まれているものと思われる。A-typeに関しては、 β が無限大、すなわち半載荷重のみの場合、 P/P_{cr} が0.5附近で飛び移りが発生する。しかし、B,C-typeに関しては、飛び移りは発生せず、 P/P_{cr} が1.0以上の荷重に対しても耐え得る。これらのタイプのアーチは、変形が進むと下路式ローゼ析のように、補剛析に大きな軸力が発生し、タイ材としての効果が大きく現われる。なお、図-4において P_{cr} とは、弾性座屈時の死荷重強度を意味し、Pとは載荷荷重の総計を意味する。

6. 結論 以上の計算結果から次のことを述べることが出来る。

- 1) 弾性座屈および幾何学的非線形性については、タイプの違いによる影響は少ない。
- 2) アーチリブの両端がヒンジの場合、座屈係数に及ぼす剛比の影響は少ない。しかし、アーチリブの両端が固定の場合には、剛比の影響は大きい。
- 3) 従って、補剛析に軸力の生じないアーチの面内座屈の照査に用いる換算断面2次モーメントの式としては、(2)式を用いることが望ましい。
- 4) 座屈係数の算出には、 β の影響は殆んど生じないが、変形の影響を考慮すると β の影響は大きい。
- 5) 道示11.3条で規定されている変形の影響を考慮すべき限界値に対して、約20%の非線形性が生じることがある。
- 6) 弾性領域での崩壊荷重を考えた場合、タイプおよび β によると影響は大きく、B,C-typeにおいては、座屈荷重以上のものを戴荷しても、飛び移りの現象は生じない。

表-2 2ヒンジ式アーチの最大増加率 ($\beta \leq 0.4$)

		H	A*	A	B	C
1.0	$M/M_0 (L/4)$	1.176	1.168	1.169	1.201	1.176
	$\delta/\delta_0 (L/4)$	1.177	1.154	1.158	1.165	1.162
2.0	$M/M_0 (L/4)$	1.428	1.405	1.410	1.499	1.428
	$\delta/\delta_0 (L/4)$	1.432	1.374	1.386	1.405	1.396

表-3 固定式アーチの最大増加率 ($\beta \leq 0.4$)

		F	A	B	C
1.0	$M/M_0 (\text{End})$	1.130	1.157	1.161	1.158
	$M/M_0 (3L/10)$	1.181	1.190	1.192	1.179
2.0	$\delta/\delta_0 (3L/10)$	1.173	1.182	1.181	1.167
	$M/M_0 (\text{End})$	1.312	1.391	1.406	1.395
	$M/M_0 (3L/10)$	1.441	1.471	1.489	1.436
	$\delta/\delta_0 (3L/10)$	1.423	1.454	1.451	1.408

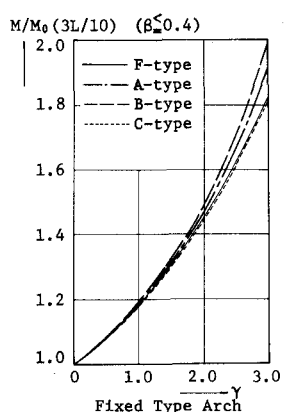


図-3 最大増加率

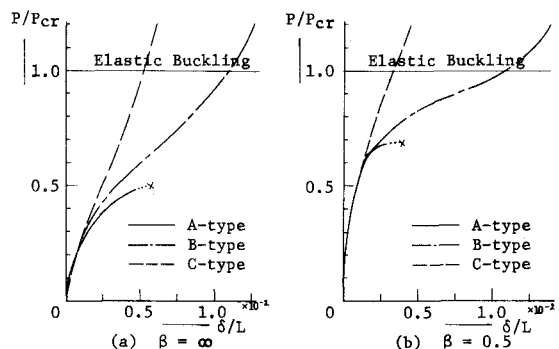


図-4 荷重-変位曲線

1) Y.Maeda, M.Hayashi & N.Kamiya : Structural Behaviour due to Large Deformation of Steel Arch Bridges, the 20th National Symposium on Bridge and Structural Eng., 1973.

2) 前田・林：固定及び2ヒンジアーチ橋の大変形計算法とその非線形性状、本講演概要集 I-291。

3) 前田・林・神谷：補剛析を有するアーチの面内座屈特性について、関西支部講演概要集、昭和49年5月。